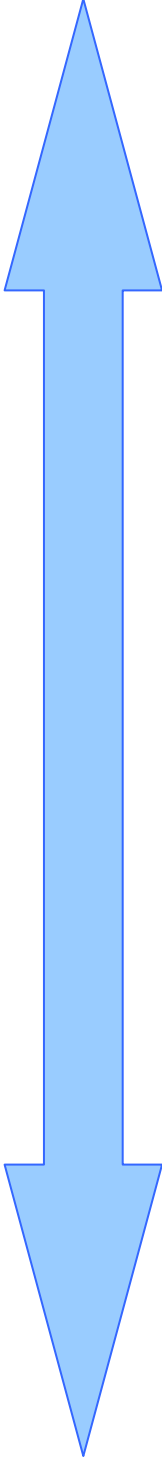


Potenciales de reducción estándar en disolución acuosa

www.vaxasoftware.com

Semirreacción de reducción	ϵ° (V)	
$\text{Li}^{+} + \text{e}^{-} \rightarrow \text{Li}_{(s)}$	-3,040	<div style="display: flex; flex-direction: column; align-items: center;"> <div style="margin-bottom: 10px;">+REDUCTOR</div>  <div style="margin-top: 10px;">+OXIDANTE</div> </div>
$\text{K}^{+} + \text{e}^{-} \rightarrow \text{K}_{(s)}$	-2,924	
$\text{Ca}^{2+} + 2\text{e}^{-} \rightarrow \text{Ca}_{(s)}$	-2,869	
$\text{Na}^{+} + \text{e}^{-} \rightarrow \text{Na}_{(s)}$	-2,7144	
$\text{Mg}^{2+} + 2\text{e}^{-} \rightarrow \text{Mg}_{(s)}$	-2,3568	
$\text{Al}^{3+} + 3\text{e}^{-} \rightarrow \text{Al}_{(s)}$	-1,676	
$\text{Mn}^{2+} + 2\text{e}^{-} \rightarrow \text{Mn}_{(s)}$	-1,182	
$2\text{H}_2\text{O} + 2\text{e}^{-} \rightarrow \text{H}_{2(g)} + 2\text{OH}^{-}$	-0,828	
$\text{Zn}^{2+} + 2\text{e}^{-} \rightarrow \text{Zn}_{(s)}$	-0,7621	
$\text{Cr}^{3+} + 3\text{e}^{-} \rightarrow \text{Cr}_{(s)}$	-0,74	
$\text{Fe}^{2+} + 2\text{e}^{-} \rightarrow \text{Fe}_{(s)}$	-0,440	
$\text{Cr}^{3+} + \text{e}^{-} \rightarrow \text{Cr}^{2+}_{(s)}$	-0,41	
$\text{Cd}^{2+} + 2\text{e}^{-} \rightarrow \text{Cd}_{(s)}$	-0,40	
$\text{Ni}^{2+} + 2\text{e}^{-} \rightarrow \text{Ni}_{(s)}$	-0,236	
$\text{Sn}^{2+} + 2\text{e}^{-} \rightarrow \text{Sn}_{(s)}$	-0,14	
$\text{Pb}^{2+} + 2\text{e}^{-} \rightarrow \text{Pb}_{(s)}$	-0,1266	
$2\text{H}^{+} + 2\text{e}^{-} \rightarrow \text{H}_{2(g)}$	0,0000	
$\text{Cu}^{2+} + \text{e}^{-} \rightarrow \text{Cu}^{+}$	+0,160	
$\text{SO}_4^{2-} + 4\text{H}^{+} + 2\text{e}^{-} \rightarrow \text{SO}_{2(g)} + 2\text{H}_2\text{O}$	+0,17	
$\text{Cu}^{2+} + 2\text{e}^{-} \rightarrow \text{Cu}_{(s)}$	+0,3394	
$\text{O}_{2(g)} + 2\text{H}_2\text{O} + 4\text{e}^{-} \rightarrow 4\text{OH}^{-}$	+0,414	
$\text{Cu}^{+} + \text{e}^{-} \rightarrow \text{Cu}_{(s)}$	+0,5180	
$\text{I}_{2(s)} + 2\text{e}^{-} \rightarrow 2\text{I}^{-}$	+0,535	
$\text{MnO}_4^{-} + 2\text{H}_2\text{O} + 3\text{e}^{-} \rightarrow \text{MnO}_{2(s)} + 4\text{OH}^{-}$	+0,597	
$\text{Fe}^{3+} + \text{e}^{-} \rightarrow \text{Fe}^{2+}$	+0,769	
$\text{Ag}^{+} + \text{e}^{-} \rightarrow \text{Ag}_{(s)}$	+0,7991	
$\text{NO}_3^{-} + 4\text{H}^{+} + 3\text{e}^{-} \rightarrow \text{NO}_{(g)} + 2\text{H}_2\text{O}$	+0,96	
$\text{Br}_{2(l)} + 2\text{e}^{-} \rightarrow 2\text{Br}^{-}$	+1,0775	
$2\text{IO}_3^{-} + 12\text{H}^{+} + 10\text{e}^{-} \rightarrow \text{I}_{2(s)} + 6\text{H}_2\text{O}$	+1,2093	
$\text{O}_{2(g)} + 4\text{H}^{+} + 4\text{e}^{-} \rightarrow 2\text{H}_2\text{O}$	+1,2288	
$\text{Cr}_2\text{O}_7^{2-} + 14\text{H}^{+} + 6\text{e}^{-} \rightarrow 2\text{Cr}^{3+} + 7\text{H}_2\text{O}$	+1,33	
$\text{Cl}_{2(g)} + 2\text{e}^{-} \rightarrow 2\text{Cl}^{-}$	+1,3601	
$\text{Au}^{3+} + 3\text{e}^{-} \rightarrow \text{Au}_{(s)}$	+1,42	
$\text{PbO}_{2(s)} + 4\text{H}^{+} + 2\text{e}^{-} \rightarrow \text{Pb}^{2+} + 2\text{H}_2\text{O}$	+1,458	
$\text{ClO}^{-} + 2\text{H}^{+} + 2\text{e}^{-} \rightarrow \text{Cl}^{-} + \text{H}_2\text{O}$	+1,46	
$\text{MnO}_4^{-} + 8\text{H}^{+} + 5\text{e}^{-} \rightarrow \text{Mn}^{2+} + 4\text{H}_2\text{O}$	+1,5119	
$\text{Au}^{+} + \text{e}^{-} \rightarrow \text{Au}_{(s)}$	+1,68	
$\text{H}_2\text{O}_{2(l)} + 2\text{H}^{+} + 2\text{e}^{-} \rightarrow 2\text{H}_2\text{O}$	+1,77	
$\text{F}_{2(g)} + 2\text{e}^{-} \rightarrow 2\text{F}^{-}$	+2,890	

Software destacado

Generadores de Colecciones de Ejercicios y Problemas	www.vaxasoftware.com/gp/index.html
WinVal - Valoraciones ácido-base	www.vaxasoftware.com/soft_edu/winval.html
HEstadis - Herramientas de Estadística y Probabilidad	www.vaxasoftware.com/soft_edu/hestadis.html
EABW - Equilibrios ácido-base para Windows	www.vaxasoftware.com/soft_edu/eabw.html
SDES - Simulador de destilaciones para Windows	www.vaxasoftware.com/soft_edu/sdes.html
FunGraf - Gráficas de funciones matemáticas	www.vaxasoftware.com/soft_edu/fungraf.html
